

بررسی تاثیر سیانید هیدروژن در القای مقاومت به شوری در گیاه هالوفیت *Aeluropus littoralis*

Study of Hydrogen Cyanide Effects on Salt Stress Induction in *Aeluropus littoralis*

میلاذ احمدی نجف آبادی^{۱*}، حسین عسکری^۱، مسعود سلطانی نجف آبادی^۲

Ahmadi N. Milad^{1*}, Askari H¹, Soltani N. Masood²

۱- گروه بیوتکنولوژی، دانشکده مهندسی انرژی و فناوری های نوین، دانشگاه شهید بهشتی،

تهران، ایران

۲- موسسه تحقیقات اصلاح و تهیه نهال و بذر، کرج، ایران

1. Department of Biotechnology, Faculty of New Technologies and Energy Engineering, Shahid Beheshti University, Tehran, Iran.
2. Agricultural Biotechnology Research Institute of Iran (ABRII), Agricultural Research, Education and Extension Organization (AREEO), Karaj, Iran.

* نویسنده مسئول مکاتبات، پست الکترونیکی: milad.ah2005@gmail.com
(تاریخ دریافت: ۹۳/۴/۱۸ - تاریخ پذیرش: ۹۵/۴/۱۰)

چکیده

تنش شوری به عنوان یک خطر جدی برای رشد و نمو گیاهان محسوب می شود. *Aeluropus littoralis* که یک هالوفیت تک لپه محسوب می شود، به عنوان یک مدل ژنتیکی جهت تجزیه و تحلیل رفتار فیزیولوژیک و مولکولی تحمل به شوری به کار می رود. تنش شوری، تولید اتیلن را در بافتهای گیاهی افزایش خواهد داد و در نتیجه این افزایش غلظت، سیانید هیدروژن نیز افزایش خواهد یافت. همچنین مکانیسم پالایش سیانید از طریق سه آنزیم *Rhodanese*، *Cyanase* و *cyanoalanine synthase* اجرا می شود. مطالعه حاضر به منظور درک پاسخ رشد و نمو سلولهای گیاهی در شرایط تنش و همچنین بررسی الگوی بیان افتراقی ژن های درگیر در بیوسنتز و پالایش سیانید هیدروژن در سوسپانسیون سلولی گیاه فوق، در پاسخ به غلظت های مختلف شوری و سیانید پتاسیم انجام گرفت. در این مطالعه از آزمایش فاکتوریل با غلظت های ۰،۰۰/۲، ۰،۰۰/۴، ۰،۰۰/۶، ۰،۰۰/۸، ۰،۰۰/۱۰ میلی مولار NaCl, KCN استفاده شد. نتایج حاصل از آنالیز وزن خشک سلولی و نیز آنالیز qRT-PCR ژن های درگیر در بیوسنتز و پالایش سیانید هیدروژن نشان داد که اعمال تیمار سیانید پتاسیم در غلظت خاصی از شوری، احتمالاً می تواند امکان مدیریت رشد گیاه را در شرایط شوری فراهم کند.

واژه های کلیدی

Aeluropus littoralis

تنش شوری

اتیلن

سیانید هیدروژن

qRT-PCR

مقدمه

تنش های محیطی زنده و غیر زنده به طور مؤثری تولیدات زراعی را با بحران مواجه می کند (Breusegem *et al.* 2001). شوری خاک، پیش از به وجود آمدن انسان وجود داشته و شاید یکی از دلایل از بین رفتن تمدن سومریان باستان باشد (Jacobson and Adams, 1958). امروزه نیز شوری خاک به عنوان یکی از مهمترین عوامل نامساعد و تنش زای غیر زنده، مطرح است و بر تولید و کیفیت محصولات کشاورزی تاثیر نامطلوب دارد (Boyer, 1982). گزارشات اخیر حاکی است که در حدود ۲۰٪ از اراضی کشاورزی جهان به عنوان خاک شور نامیده می شوند (Flowers and Yeo, 1995). تنش شوری در خاک یا آب به عنوان یک تنش جدی، اثرات خاصی روی رشد و عملکرد گیاه در مناطق خشک و نیمه خشک اعمال می کند و با افزایش شدت آن پتانسیل عملکرد تا ۲۵ سال آینده بیش از ۳۰٪ و در سال ۲۰۵۰ تا ۵۰٪ کاهش خواهد یافت. در برنامه های اصلاحی به منظور انتخاب صفات مطلوب در زمینه های مختلف ژنتیک نیاز به درک مکانیسم های فیزیولوژیک و ژنتیک است. عوامل محیطی موجود در شرایط مزرعه ای، پاسخ به شوری را در گیاهان تحت تاثیر قرار می دهند و از انتخاب مستقیم ژنوتیپ های متحمل به شوری ممانعت می کند. در نتیجه اجرای تحقیقات مولکولی اجتناب ناپذیر است. درک مکانیسم های بیوشیمیایی و فیزیولوژیک تحمل به شوری با استفاده از یک سیستم مدل هالوفیتی می تواند اطلاعات مفیدی در اختیار بگذارد. گیاه آلوروپوس به عنوان یک گیاه تک لپه هالوفیت با دارا بودن بیش از ۹۵ درصد هومولوژی ژنومی با برنج، به منظور انتقال مقاومت به برنج مورد توجه است. متأسفانه هنوز در بهره برداری از پتانسیل مطلوب این گیاه در تحمل به شوری اقدامی صورت نگرفته است، چرا که گیاه مورد نظر در حوزه کشاورزی چندان شناخته شده نیست. مطالعات در زمینه تولید اتیلن و نقش آن در گیاه در پاسخ به شرایط تنش از

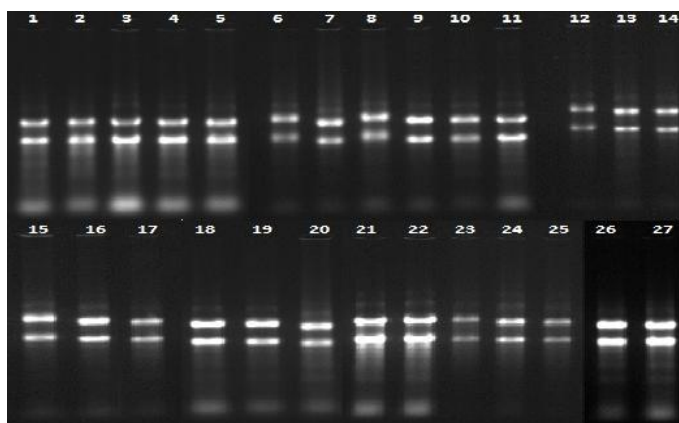
دیر باز مورد توجه دانشمندان و محققان بوده است. به طوری که به آن، هورمون تنش اطلاق می شود (Abeles *et al.* 1995; Hall and Smith, 1992). در گیاهان سیانید هیدروژن به عنوان یک ماده همراه در مسیر بیوسنتز اتیلن تولید می شود. در این واکنش آنزیم ACC Oxidase ترکیب 1-Aminocyclopropane-1-carboxylic acid را به اتیلن و HCN تبدیل می کند (شکل ۱). بر خلاف اتیلن که تقریباً اکثر مطالعات انجام گرفته بر روی تنش، به نقش این هورمون در مقابله با استرس پرداخته است، نقش سیانید هیدروژن به عنوان یک محصول جانبی در مسیر تولید اتیلن در گیاه، در تنظیمات درون سلولی در واکنش به تنش های محیطی، بندرت مورد توجه قرار گرفته است. این در حالی است که سیانید هیدروژن همگام با اتیلن به میزان برابر و در پاسخ به تنش های زنده و غیر زنده در گیاه تولید می شود (شکل ۱). سیانید هیدروژن در گیاه علاوه بر القای مسیرهای تنفسی مقاوم به سیانید و پنتوز فسفات در گیاه (Bogatek and Lewak, 1991; Bogatek *et al.* 1999)، پیش ساز آمینوآسید آسپاراژین و محرک تولید اتیلن در گیاه، در غلظت های غیر سمی می باشد (Oracz *et al.* 2008). همچنین سیانید در یک اثر پس خوری، باعث افزایش فعالیت ژن کد کننده ACC Synthase- ژن کلیدی مسیر بیوسنتز اتیلن- شده و در نتیجه باعث افزایش تولید اتیلن در گیاه آرابیدوپسیس می شود (Pirrung and Brauman, 1987; Smith and Arteca, 2000). بنابراین تولید این عنصر به ظاهر سمی و خطرناک، در پاسخ به استرس بی مورد نبوده و به عنوان یک عامل دفاعی در برابر تنش در گیاه نقش ایفا می کند. همچنین بررسی تغییرات بیان ژن های عامل بیوسنتز و پالایش سیانید هیدروژن در واکنش به اثرات متقابل استرس شوری و سیانید در گیاه، به عنوان یک خلاء بزرگ در مطالعات پیشین روی سیانید هیدروژن مشاهده می شود. در این مطالعه به بررسی الگوی رشد سلولی گیاه هالوفیت *Aeluropus littoralis* در واکنش به تنش های شوری،

استخراج RNA و تیمار DNase

نمونه های برداشت شده با استفاده از هاون چینی دو بار اتوکلاو و ازت مایع به خوبی پودر گردید و در دمای ۸۰- نگهداری شد. سپس استخراج RNA طبق پروتوکل RNX-Plus انجام گرفت (شکل ۲). نمونه های RNA پس از استخراج، توسط NanoDrop غلظت سنجی شد و مقدار ۲μg از آن جهت تیمار با DNase شرکت Cinnagen، مورد استفاده قرار گرفت. در انتها صحت اثر DNase روی RNA استخراجی، با استفاده از PCR و با بکارگیری آغازگرهای tubulin. بررسی شد. وجود باند در نمونه RNA تیمار نشده با DNase بیانگر آلودگی ژنومی می باشد.

واکنش RT-PCR

تهیه cDNA با استفاده از کیت- M-RevertAid™ MuLV شرکت Vivantis صورت گرفت. مقدار غلظت RNA مورد استفاده ۲μg بود.



شکل ۲- RNA استخراج شده از ۲۷ نمونه با استفاده از کیت RNX-Plus روی ژل آگارز ۱ درصد

Figure 2. The Extracted RNAs on Agarose Gel (27 plant samples by RNX-Plus extraction kit)

۰/۰۵، ۰/۱، ۰/۲، ۰/۴، ۰/۸ و ۱/۶ میلی مولار در ارلن های حاوی سلول های یکنواخت با ۳ تکرار اعمال شد و با اندازه گیری وزن خشک سلولی به شیوه ای که در رابطه با شوری بیان شد، منحنی رشد سلولی در این حالت نیز بدست آمد و غلظت های محرک رشد و مهار کننده ی رشد سلولی در مقایسه با نمونه ی شاهد بدست آمد.

با بررسی منحنی های بدست آمده از رشد سلول های تحت تیمار شوری و سیانید پتاسیم، غلظت های مناسب ۰، ۶۰ و - ۱۲۰ میلی مولار شوری و ۰، ۰/۲ و ۰/۴ میلی مولار سیانید پتاسیم انتخاب و تیمار ترکیبی در ۹ غلظت مختلف ۰، ۰/۲، ۰/۴، ۰/۶، ۰/۸، ۱/۲، ۲/۰ و ۱۲۰/۲ میلی مولار NaCl, KCN اعمال شد. پس از ۱۰ روز از اعمال تیمار، برداشت نمونه ها صورت گرفت و ماده گیاهی لازم جهت انجام آزمایشات ملکولی فراهم آمد. همچنین وزن تر توده سلولی برداشت شده (پس از ۱۰ روز) اندازه گیری و ثبت گردید.

طراحی آغازگر برای واکنش qRT-PCR

بدلیل عدم وجود توالی ژن های مورد مطالعه در گیاه *Aeluropus littoralis* در بانک ژن، ابتدا آغازگرهای اولیگونوکلوئوتیدی جهت انجام واکنش PCR، بر اساس نواحی حفاظت شده ی توالی ژنهای مورد نظر در سایر گیاهان مشابه با استفاده از ClustalW و NCBI BLAST طراحی شد. سپس قطعات ژنی حاصل از واکنش PCR با استفاده از وکتور TA به باکتری *E. Coli* DH₅ منتقل و همسانه سازی قطعات ژنی صورت گرفت. پلاسمیدهای نو ترکیب جهت توالی یابی فرستاده شدند. پس از توالی یابی قطعات ژنی مورد نظر، آغازگرهای مناسب جهت واکنش qRT-PCR با استفاده از نرم افزار Primer Express V3.0 و Primer3 طراحی شد (جدول ۱). صحت آغازگرهای طراحی شده با استفاده از Primer Blast و نرم افزار آنالین IDT (Integrated DNA Technologies) تایید شد.

جدول ۱- اطلاعات مربوط به آغازگرهای هر ژن جهت واکنش Real Time PCR

Table 1. Used primers in real time PCR

Gene name	Primer sequence F/R [5'-3']	Primer Tm[°C]	% GC	Amplicon length [bp]
<i>AdoMetS</i>	ACATGGTCATGGTCCTTGGTG	59.1	52	75 bp
	GGCAGGTCTCCCTGACAATCT	59.1	57	
<i>ACO</i>	GAGCTGATGGACGAGGTGGA	59.8	60	153 bp
	GTGGCGGACGAAGAAGGTG	60.2	63	
<i>CAS</i>	TGGGAACATGGGCATAGGAT	58.7	50	70 bp
	CGGCATCGTAAGAATGAGTTCA	58.8	45	
<i>RHO</i>	TTAGATGGAGGTTTGCCCCAGT	60.6	50	150 bp
	TGCTTCAAATGTGACAGGACCA	60.1	45	
<i>CYN</i>	GGAATCATGTCGGCCATTG	58.3	53	72 bp
	CACACGATCTTTCCATCGG	57.6	50	
<i>α-Tub</i>	TGGAGTTGGAGATCATGCTCA	58	48	64 bp
	ACAGTTGTGCCAGGTGGTGAC	60	57	
<i>Actin1</i>	GGATCTTTACGGCAATGTC	51.7	47	123 bp
	GGCGCAACTACCTTCACCT	54.2	53	
<i>Actin2</i>	TTGCTGGCCGAGACCTTAC	57.5	58	113 bp
	GGCGAGCTTTTCCTTGATG	57.1	53	

واکنش Real Time PCR

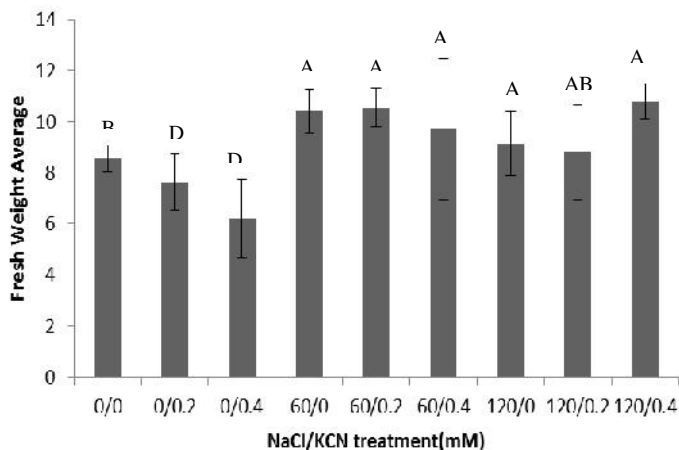
جهت مقایسه میزان تظاهر ژن های درگیر در مسیر بیوستنز و متابولیسم سیانید هیدروژن، آزمون Real Time PCR برای ۲۷ نمونه (۹ نمونه تیمار شده و از هر کدام ۳ تکرار) انجام گرفت. در این آزمون، کمیت سنجی بیان ژن به صورت نسبی انجام گرفت. آزمون Real Time PCR با استفاده از معرف سایبر گرین (SYBR GREEN) شرکت Bioneer انجام گرفت. دستگاه مورد استفاده، دستگاه ترمال سایکلر مدل ABI StepOne ساخت شرکت Applied Biosystems بود و واکنش Real Time PCR در میکروپلیت ۴۸ چاهکی و در حجم نهایی ۱۲ میکرولیتر انجام شد. مواد استفاده شده در واکنش، طبق جدول ۲ می باشد. چرخه های دمایی نیز، به شرح زیر انتخاب شدند: واسرشت سازی اولیه در ۹۵°C به مدت ۱۰ دقیقه و ۴۵ چرخه دمایی شامل واسرشت سازی در ۹۵°C به مدت ۱۵ ثانیه، و اتصال پرایمر و تکثیر در ۶۰°C به مدت ۴۵ ثانیه انجام گرفت.

جدول ۲- مواد لازم جهت انجام Real time PCR

Table 2. Composition of Real time PCR reactions

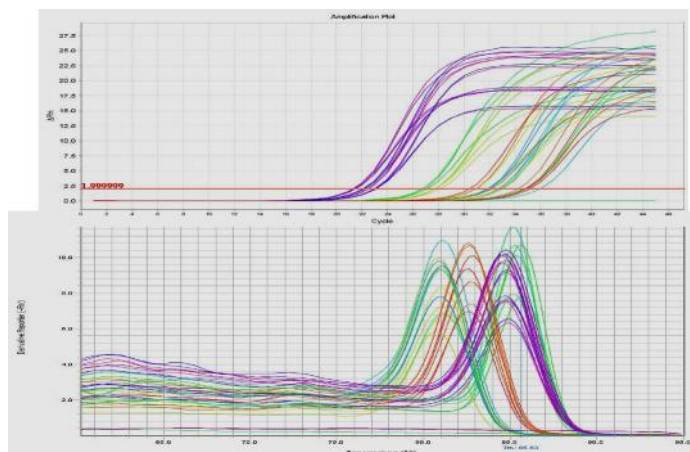
Materials مواد	Quantities مقدار
SYBR GREEN Master Mix(2X)	6 μ l
ROX Reference Dye(50x)	0.24 μ l
cDNA Tamplate(100 ng/ μ l)	1 μ l
Primers (5 μ M each) F/R	0.6 + 0.6 μ l
Distillated Water	3.56 μ l
Total volume	12 μ l

بعد از ۴۵ سیکل به منظور آزمون اختصاصی بودن تکثیر، از منحنی دمای ذوب استفاده شد که برنامه آن به شرح زیر می باشد: ابتدا در ۹۵°C به مدت ۱۵ ثانیه، ۶۰°C به مدت ۱ دقیقه و افزایش دما با سرعت ۰/۳°C در دقیقه از دمای ۶۰°C تا دمای ۹۵°C و توقف در دمای ۹۵°C به مدت ۱۵ ثانیه صورت گرفت. مطابق مقالات منتشر شده توسط Oracz 2008 و Caldana 2007 ژن های خانه دار tubulin، actin1 و



نمودار ۱- میانگین وزن تر سلول ها در پاسخ به غلظت های مختلف شوری و سیانید پتاسیم.

Graph 1. The wet weight means of cells in response to different concentrations of NaCl and KCN



شکل ۳- رسم منحنی تکثیر PCR (بالا) و منحنی ذوب (پایین) ژنهای مورد مطالعه در چند تیمار متفاوت، با استفاده از Real Time PCR.

Figure 3. The obtained graphs of qPCR

واکنش Quantitative RT-PCR

جهت مقایسه میزان تظاهر شبکه ژنی درگیر در مسیر بیوستتر و متابولیسم سیانید هیدروژن، آزمون Real Time PCR برای ۲۷ نمونه انجام گرفت. نتایج به دست آمده از آنالیز منحنی

actin2 به عنوان کنترل درونی انتخاب و با استفاده از واکنش q-RT-PCR در ۲۷ نمونه (۹ تیمار به همراه ۳ تکرار) مورد ارزیابی قرار گرفتند. سپس بر اساس مقایسه تغییرات بیان هر یک از این ژن ها با مقایسه میزان Ct و نیز ارزیابی پایداری بیان هر کدام از آنها، بهترین ژن خانه دار به عنوان کنترل درونی، tubulin شناخته شد. سپس آزمون qRT-PCR برای کلیه ژن های مورد مطالعه و نیز ژن tubulin، برای هر نمونه انجام گرفت. جهت اطمینان از عدم آلودگی ترکیبات به کار رفته در واکنش، از کنترل منفی استفاده شد.

آنالیز واکنش qRT-PCR

کمیت سنجی بیان ژن در آزمون Real Time PCR به صورت نسبی انجام گرفت. در این ارزیابی میزان بازده PCR دارای اهمیت می باشد. پس از اندازه گیری میزان Ct، برای ۶ ژن مورد مطالعه (۵ ژن درگیر در مسیر بیوستتر و متابولیسم سیانید هیدروژن و نیز یک ژن کنترل درونی) در ۲۷ نمونه تیمار شده در غلظت های مختلف NaCl و سیانید، کارایی پی سی آر با استفاده از نرم افزار LinRegPCR تعیین و پس از محاسبات آماری با استفاده از برنامه Excell، میزان بیان هر ژن طبق فرمول Pfaffl محاسبه گردید (Pfaffl 2001).

نتایج و بحث

تیمار همزمان NaCl و سیانید

با آنالیز و بررسی منحنی های بدست آمده از رشد سلول های تحت تیمار شوری و سیانید پتاسیم، غلظت های مناسب ۰، ۶۰ و ۱۲۰ میلی مولار شوری و ۰، ۰/۲ و ۰/۴ میلی مولار سیانید پتاسیم انتخاب و تیمار همزمان اعمال گشت. نتایج حاصل از اندازه گیری وزن تر سلول ها در مرحله برداشت در نمودار شماره ۱ آمده است.

برهمکنش های متفاوت این دو تیمار، بررسی و مطالعه شد. بررسی و مقایسه میزان تظاهر شبکه ژنی درگیر در بیوستتز و پالایش سیانید هیدروژن در غلظت های ۰، ۶۰ و ۱۲۰ میلی مولار شوری و ۰، ۰/۲ و ۰/۴ میلی مولار سیانید پتاسیم و همچنین افزایش غلظت سیانید پتاسیم در یک غلظت ثابت از شوری و افزایش غلظت شوری در یک غلظت ثابت از سیانید پتاسیم انجام گرفت. نمودارهای ۲ تا ۶، میزان بیان ژن های مورد مطالعه را در غلظت های مختلف شوری، سیانید پتاسیم و برهمکنش های متفاوت این دو تیمار نشان می دهد. همچنین نمودارهای مربوط به رشد سوسپانسیون سلولی گیاه آلروپوس لیتورالیس تحت تأثیر تیمارهای مختلف شوری و سیانید پتاسیم و برهمکنش های مختلف این دو تیمار، رسم و با میزان تظاهر ژن های مورد مطالعه تحت این تیمارها مقایسه گشت.

ذوب در این مطالعه نشان داد که تکثیر تمام ژنها به صورت اختصاصی و فاقد محصولات غیر اختصاصی نظیر پرایمر دایمر است. شکل ۳ منحنی ذوب ژن های مورد مطالعه را در تعدادی از تیمارها نشان می دهد.

میانگین بیان و انحراف معیار برخی ژن های درگیر در متابولیسم و پالایش سیانید هیدروژن در گیاه *Aeluropus littoralis* در غلظت های مختلف سیانید پتاسیم و شوری و اثرات متقابل این دو تیمار در جدول ۳ آورده شده است. سپس با استفاده از نرم افزار SAS، آنالیز آماری نتایج حاصل از میزان بیان ژن های مورد مطالعه در تیمارهای مختلف، انجام گرفت. جدول ۴ نتایج حاصل از تجزیه واریانس و جدول ۵ نتایج حاصل از مقایسه میانگین در سطح ۰/۰۵ به شیوه آزمون LSD را نشان می دهند.

میزان بیان شبکه ژنی درگیر در بیوستتز و پالایش سیانید هیدروژن در غلظت های مختلف شوری، سیانید پتاسیم و

جدول ۳- مقایسه اثرات متقابل شوری و سیانید پتاسیم بر میزان بیان برخی ژنهای درگیر در متابولیسم و پالایش سیانید هیدروژن در گیاه

Aeluropus littoralis

Table 3. The effect of NaCl and KCN treatments on the expression of some genes in Hydrogen Cyanide metabolism in *Aeluropus littoralis*

Treatment NaCl, KCN (mM)	Genes											
	AdoMet S.		CAS		RHO		CYN		ACO			
	Ratio	Average	STDEV	Ratio	Average	STDEV	Ratio	Average	STDEV	Ratio	Average	STDEV
0,0 mM	1	0	1	0	1	0	1	0	1	0		
0,0,2 mM	0.675407306	0.090354666	0.846505301	0.059813682	1.508548372	0.709069141	0.947872754	0.062010359	1.407984028	0.035804094		
0,0,4 mM	0.997400271	0.03159976	1.062982028	0.056353122	1.083596421	0.040019962	0.988466253	0.013649846	1.116241104	0.061972238		
60,0 mM	0.836165056	0.076993867	1.050064388	0.045815188	0.984480532	0.002230736	1.00201949	0.005768918	1.034642857	0.103672011		
60,0,2 mM	1.065925174	0.054647263	0.997049115	0.03038948	3.888757837	1.941537097	1.013274837	0.02823638	0	0		
60,0,4 mM	1.038153694	0.034786373	0.975195463	0.026190332	1.056623476	0.047810584	1.021002904	0.054976387	1.388115666	0.058030139		
120,0 mM	0.954202183	0.070123171	1.021408528	0.045023525	1.095016424	0.063666122	0.998488778	0.001824087	1.209253285	0.202949717		
120,0,2 mM	0.756449585	0.144049465	0.971733351	0.030124894	1.018481197	0.037001618	1.004154782	0.004899679	1.066154133	0.091706194		
120,0,4 mM	1.024993377	0.050063248	0.93831741	0.025136527	2.027850242	1.506330548	0.970667034	0.049930347	1.202791668	0.208482972		

Abbreviations: AdoMet S.: S-adenosylmethionine synthetase, CAS: .cyanoalanine synthase, RHO: Rhodanese, CYN: Cyanase, ACO: acc oxidase, STDEV: standard deviation

جدول ۴- تجزیه واریانس اثر تیمارهای مختلف شوری و سیانید، بر روی ژن های مورد مطالعه

Table 4. Analysis of variance of NaCl and cyanide treatments on the studied Genes

نام ژن	تغییرات	DF	SS	MS	F value	Pr>F
AdoMet S.	Model	8	0.458751	0.057344	10.87**	<.0001
	Error	18	0.094922	0.005273	-	-
	Total	26	0.553672	-	-	-
CAS	Model	8	0.100927	0.012616	8.09**	0.0001
	Error	18	0.028057	0.001559	-	-
	Total	26	0.128983	-	-	-
RHO	Model	8	21.79052	2.723814	3.74**	0.0095
	Error	18	13.10138	0.727855	-	-
	Total	26	34.8919	-	-	-
CYN	Model	8	0.012081	0.00151	1.3 ^{ns}	0.3021
	Error	18	0.020835	0.001158	-	-
	Total	26	0.032916	-	-	-
ACO	Model	8	4.202994	0.525374	42.1**	<.0001
	Error	18	0.224603	0.012478	-	-
	Total	26	4.427597	-	-	-

** معنی دار در سطح ۱ درصد. ns: non significant

جدول ۵- مقایسه میانگین بیان ژن های مورد مطالعه در تیمارهای مختلف شوری و سیانید

Table 5. The Expression levels of studied genes in different NaCl and cyanide treatments

تیمار NaCl,KCN(mM)	تکرار	میانگین بیان ژن				
		AdoMet S.	CAS	RHO	CYN	ACO
0,0	3	1	1	1	1	1
		A	ABC	B	AB	D
0,0.2	3	0.67541	0.84651	1.5085	0.94787	1.40798
		D	D	B	B	A
0,0.4	3	0.9974	1.06298	1.0836	0.98847	1.11624
		A	A	B	AB	DC
60,0	3	0.83617	1.05006	0.9845	1.00202	1.03464
		BC	A	B	AB	DC
60,0.2	3	1.06593	0.99705	3.8888	1.01327	0
		A	ABC	A	A	E
60,0.4	3	1.03815	0.9752	1.0566	1.021	1.38812
		A	BC	B	A	AB
120,0	3	0.9542	1.02141	1.095	0.99849	1.20925
		AB	AB	B	AB	BC
120,0.2	3	0.75645	0.97173	1.0185	1.00415	1.06615
		DC	BC	B	AB	DC
120,0.4	3	1.02499	0.93832	2.0279	0.97067	1.20279
		A	C	B	AB	BC

مقایسه میانگین در سطح 0.05 با آزمون LSD انجام شد.

بررسی تاثیر شوری بر بیان ژن های درگیر در پالایش سیانید

هیدروژن

نتایج نشان داد افزایش غلظت شوری به تنهایی و بدون اعمال سیانید پتاسیم، تاثیر معنی داری بر بیان ژن های درگیر در پالایش سیانید (نمودارهای ۴ و ۵) و همچنین رشد سلولی (نمودار ۱) ندارد. این نتایج نشان داد که سلول های آروپوس در طول دوره این آزمایش امکان مدیریت شرایط شوری را فراهم کرده اند.

بررسی تاثیر برهم کنش سیانید پتاسیم و شوری بر بیان ژن های

درگیر در پالایش سیانید هیدروژن

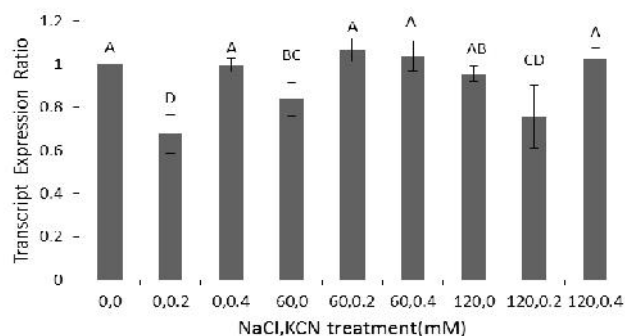
افزایش شوری در غلظت ۰/۴ میلی مولار سیانید پتاسیم (غلظت های ۰/۴ و ۶۰/۴ و ۱۲۰/۴ میلی مولار NaCl, KCN)، تاثیر معنی داری در رشد سلولی داشت (نمودار ۱). طوری که تا بیش از ۴۰٪ امکان افزایش رشد را فراهم نمود. در این غلظت میزان بیان ژن CAS به طور معنی داری کاهش یافت (نمودار ۴).

بررسی بیان ژن کلیدی ACO، مسئول مستقیم بیوستز سیانید

درون سلولی

افزایش شوری در حضور غلظت ۰/۲ میلی مولار سیانید پتاسیم (غلظت های ۰/۲ و ۶۰/۲ و ۱۲۰/۲ میلی مولار NaCl, KCN)، منجر به کاهش معنی دار بیان ژن ACO-ژن کلیدی بیوستز سیانید هیدروژن و اتیلن- شد (نمودار ۳). همچنین در این دامنه غلظت، ما شاهد افزایش معنی دار رشد توده سلولی بودیم (نمودار ۱). با استناد بر آزمایشات صورت گرفته در این تحقیق و نیز با توجه به اثر مهاري اتیلن بر رشد گیاه (Siddikee et al., 2011)، می توان گفت احتمالاً کاهش بیان ژن ACO در حضور غلظت ۰/۲ میلی مولار سیانید خارجی باعث کاهش تولید اتیلن و سیانید درون سلولی و به دنبال آن افزایش رشد شده است. نتایج به دست آمده نشان می دهد که علیرغم اثرات کاهنده سیانید بر رشد سلول، تیمار سیانید هیچ نقشی در القای ژن های درگیر در سمیت زدایی سیانید هیدروژن ندارد. این در حالی است که احتمالاً به نظر می رسد اعمال سیانید در یک غلظت معین در حضور شوری می تواند در یک هماهنگی مولکولی امکان ارتقاء رشد سلولی را فراهم کند.

AdoMet S.

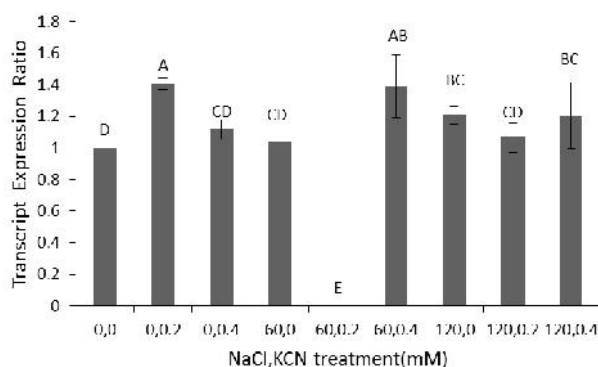


نمودار ۲- میزان بیان ژن کد کننده AdoMet Synthase در غلظت های

مختلف شوری، سیانید پتاسیم و برهمکنش های این دو تیمار.

Graph 2- The expression level of AdoMet Synthase gene in different NaCl and KCN treatments

ACO



نمودار ۳- میزان بیان ژن کد کننده ACC Oxidase (ACO) در غلظتهای

مختلف شوری، سیانید پتاسیم و برهمکنش های این دو تیمار.

Graph 3- The expression level of ACC Oxidase gene in different NaCl and KCN treatments

بررسی تاثیر سیانید پتاسیم بر بیان ژن های درگیر در پالایش

سیانید هیدروژن

افزایش غلظت سیانید پتاسیم به تنهایی و بدون اعمال سیانید پتاسیم، علاوه بر اینکه تاثیر معنی داری بر افزایش بیان ژن های درگیر در حذف سیانید درون سلولی نداشت (نمودارهای ۴ و ۵)، باعث کاهش رشد توده سلولی نیز شد (نمودار ۱).

منابع

Abeles, F.B., Morgan, P.W., and Saltveit, M.E. Jr. 1992. Ethylene in Plant Biology. San Diego, CA, Academic.

Ahmad R., S.H. Zaheer and S. Ismail. 1992. Role of silicon in salt tolerance of wheat (*Triticum aestivum* L.) Plant Science 85(1), 43-50.

Bogatek R, Co[^]me D, Corbineau F, Picard MA, Z_arska- Maciejewska B, Lewak S. 1999. Sugar metabolism as related to the cyanide-mediated elimination of dormancy in apple embryos. Plant Physiology and Biochemistry 37, 577-585.

Bogatek R, Lewak S. 1991. Cyanide controls enzymes involved in lipid and sugar catabolism in dormant apple embryos during culture. Physiologia Plantarum 83, 422-426.

Flowers, T.J. 2004. Improving crop salt tolerance. J.Exp.Bot, 55, 307-319.

Fowler, S. and Thomashow, M.F. 2002. Arabidopsis transcriptome profiling indicates that multiple regulatory pathways are activated during cold acclimation in addition to the CBF cold response pathway. Plant Cell 14, 1675-90.

Gorham J, Bridges J, Dubcovsky J, Dvorak J, Hollington PA, Luo MC, Khan JA. 1997. Genetic analysis and physiology of a trait for enhanced K⁺/Na⁺ discrimination in wheat. New Phytol 137, 109-116.

Hall M. A., Smith A.R. 1995. Ethylene and the responses of plants to stress, BULG. J. PLANT PHYSIOL., 1995, 21, 71-79.

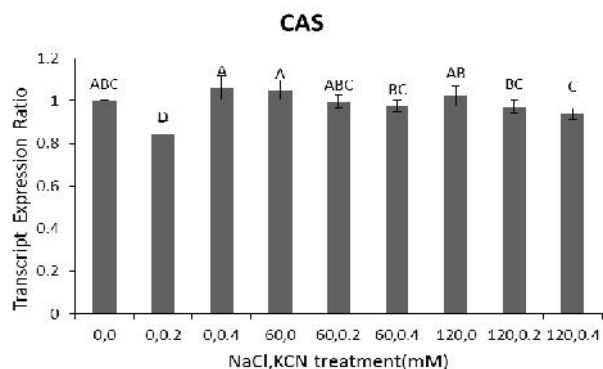
Oracz K., Hayat El-Maarouf-Bouteau, Renata Bogatek, Françoise Corbineau and Christophe Bailly. 2008. Release of sunflower seed dormancy by cyanide: cross-talk with ethylene signalling pathway, Journal of Experimental Botany, 59(8), 2241-2251.

Petruzzelli L, Coraggio I, Leubner-Metzger G. 2000. Ethylene promotes ethylene biosynthesis during pea seed germination by positive feedback regulation of 1-aminocyclo-propane-1-carboxylic acid oxidase. Planta 211, 144-149.

Pfaffl Michael W. 2001. A new mathematical model for relative quantification in real-time RT-PCR, Nucleic Acids Research, 29(9).

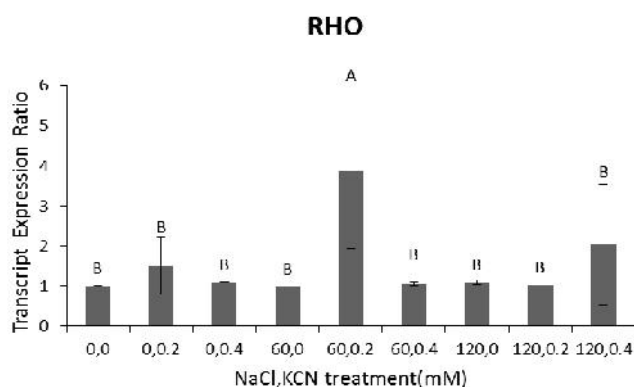
Pirrung MC, Brauman JI. 1987. Involvement of cyanide in the regulation of ethylene biosynthesis. Plant Physiology and Biochemistry 25, 55-61.

Smith JM, Arteca RN. 2000. Molecular control of ethylene production by cyanide in Arabidopsis thaliana. Physiologia Plantarum 109, 180-187.



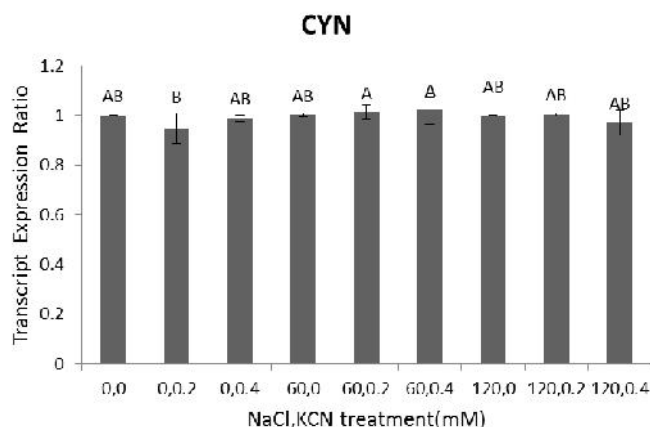
نمودار ۴- میزان بیان ژن کد کننده *Cyanoalanine Synthase (CAS)* در غلظت های مختلف شوری، سیانید پتاسیم و برهمکنش های این دو تیمار.

Graph 4- The expression level of *Cyanoalanine Synthase (CAS)* gene in different NaCl and KCN treatments.



نمودار ۵- میزان بیان ژن کد کننده *Rhodanese (RHO)* در غلظت های مختلف شوری، سیانید پتاسیم و برهمکنش های این دو تیمار

Graph 5- The expression level of *Rhodanese (RHO)* gene in different NaCl and KCN treatments.



نمودار ۶- میزان بیان ژن کد کننده *Cyanase (CYN)* در غلظت های مختلف شوری، سیانید پتاسیم و برهمکنش های این دو تیمار

Graph 6- The expression level of *Cyanase (CYN)* gene in different NaCl and KCN treatments.

Study of Hydrogen Cyanide Effects on Salt Stress Induction in *Aeluropus littoralis*

Ahmadi N. Milad^{1*}, Askari H¹., Soltani N. Masood²

1. Department of Biotechnology, Faculty of New Technologies and Energy Engineering, Shahid Beheshti University, Tehran, Iran.

2. Agricultural Biotechnology Research Institute of Iran (ABRII), Agricultural Research, Education and Extension Organization (AREEO), Karaj, Iran.

* Corresponding Author, Email: milad.ah2005@gmail.com

ABSTRACT

Salt stress is a serious problem for plant growth and development. To analyze salt stress resistance and physiological behavior of plants, the halophyte *Aeluropus littoralis* was studied. Salt stress augments ethylene hormone production in plant tissue and this leads to increased hydrogen cyanide levels. In the other hand, there is a cyanide purge mechanism involving three enzymes: Cyanase, Rhodanese and -cyanoalanine synthase. To study plant cell growth and development under salt stress conditions, an analysis of differential expression of genes involved in biosynthesis and purge of cyanide is needed. In this study, *Aeluropus littoralis* cell suspensions were subjected to different concentrations of salt and potassium cyanide in the medium. Factorial analysis of NaCl and KCN in 0, 0/0.2, 0/0.4, 60/0, 60/0.2, 60/0.4, 120/0, 120/0.2 and 120/0.4 mM concentrations were assessed. Our study demonstrated that KCN treatment significantly reduced production of dry material. The results showed that, although cyanide has negative effect on cell growth, the cyanide detoxification gene network was not activated in these conditions. In addition, the interaction between cyanide and salinity indicated that salt stress in the presence of 0.4 mM KCN increases cell growth by 40 percent because expression of the CAS gene was reduced enormously. An increase of salinity in the presence of 0.2 mM KCN, however, reduced expression of ACO, a key gene in HCN and ethylene production. As intracellular level of HCN declined, cell growth rose. Thus external treatment of cyanide increases plant dry material and plant resistance in salt stress conditions.

Key Words

Aeluropus littoralis, Ethylene, Salt stress, Hydrogen Cyanide, qRT-PCR